



## Auswirkungen von Modell- und Prognoseunsicherheiten auf die Leistung der modellprädiktiven Regelung eines PV-Batterie-Wärmepumpe-Wärmespeichersystems

Ronny Gelleschus, Thilo Bocklisch

Professur für Energiespeichersysteme

6. Herbstworkshop "Energiespeichersysteme", Dresden/Online, 30.11.2022

#### Überblick

- 1. Motivation
- 2. Modellunsicherheiten
- 3. Prognoseunsicherheiten
- 4. Zusammenfassung und Ausblick





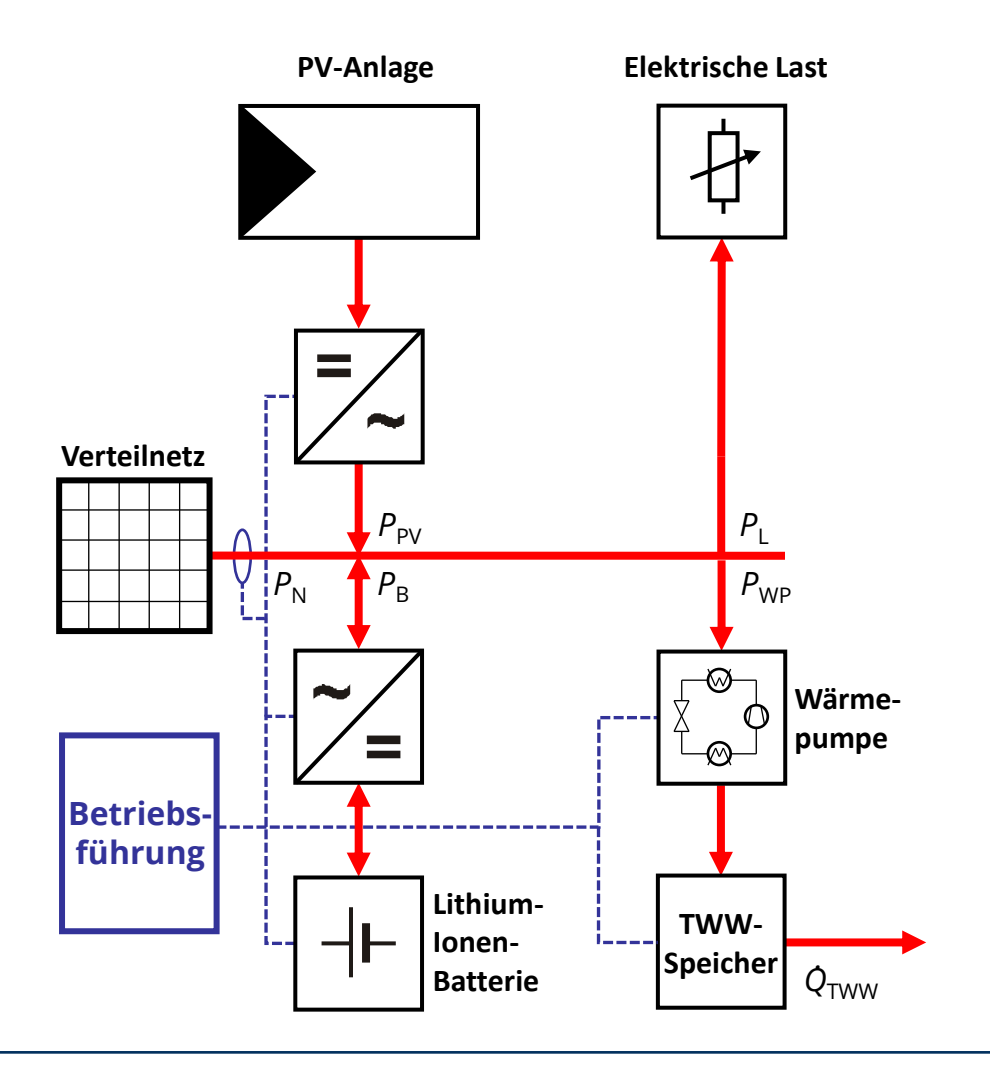
## 1. Motivation





#### 1. Motivation

## PV-Batterie-Wärmepumpen-Wärmespeicher-System



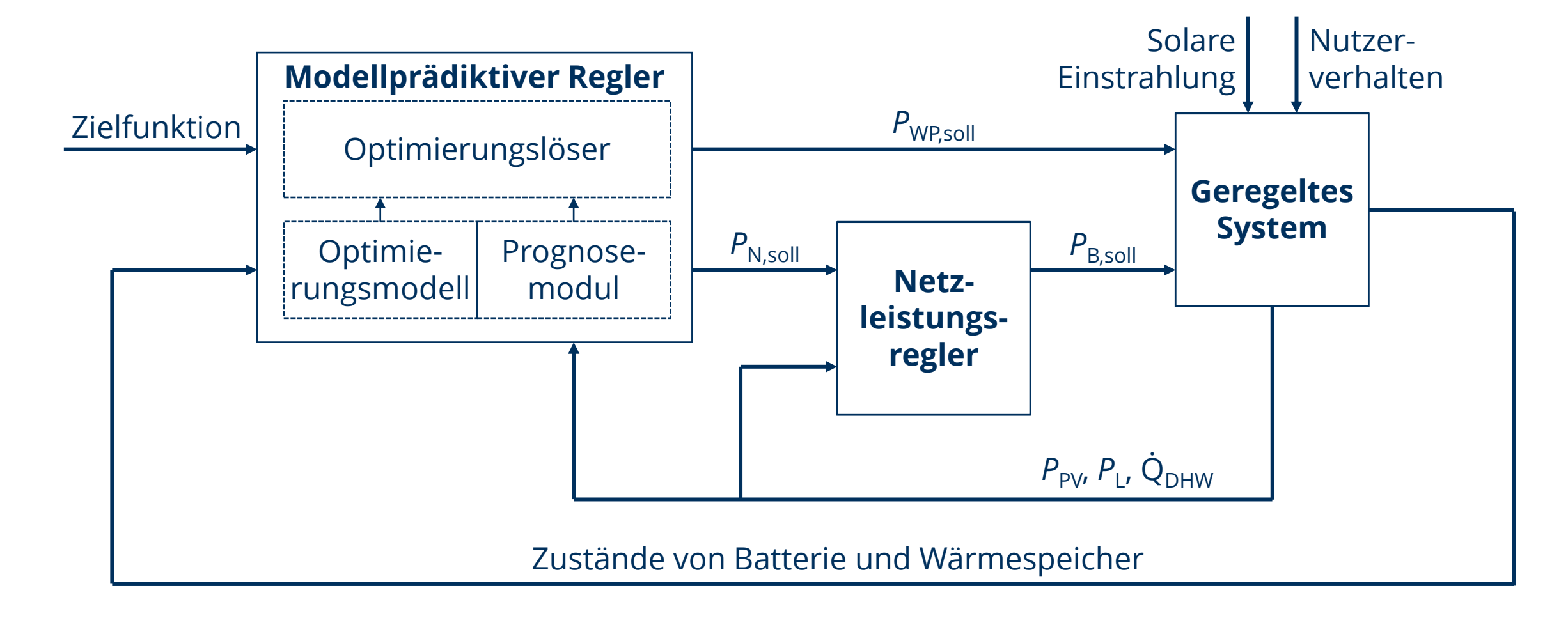
Systembestandteil	estandteil Parameter	
Elektrische Last	4 MWh	
PV-Anlage	5.7 kW / 5 MWh	
Netzbezug	0.30 € kWh	
Netzeinspeisung	0.10 € / max. 2.85 kW	
Trinkwarmwasserlast (TWW)	43.8 m <sup>3</sup> / 2.24 MWh	
Wärmepumpe/Wärmespeicher	850 W elektrische Leistung / 300 l	
Lithium-Ionen Batteriesystem	5 kW / 5 kWh	





#### 1. Motivation

## Multi-Use-Betriebsführung mit modellprädiktiver Regelung





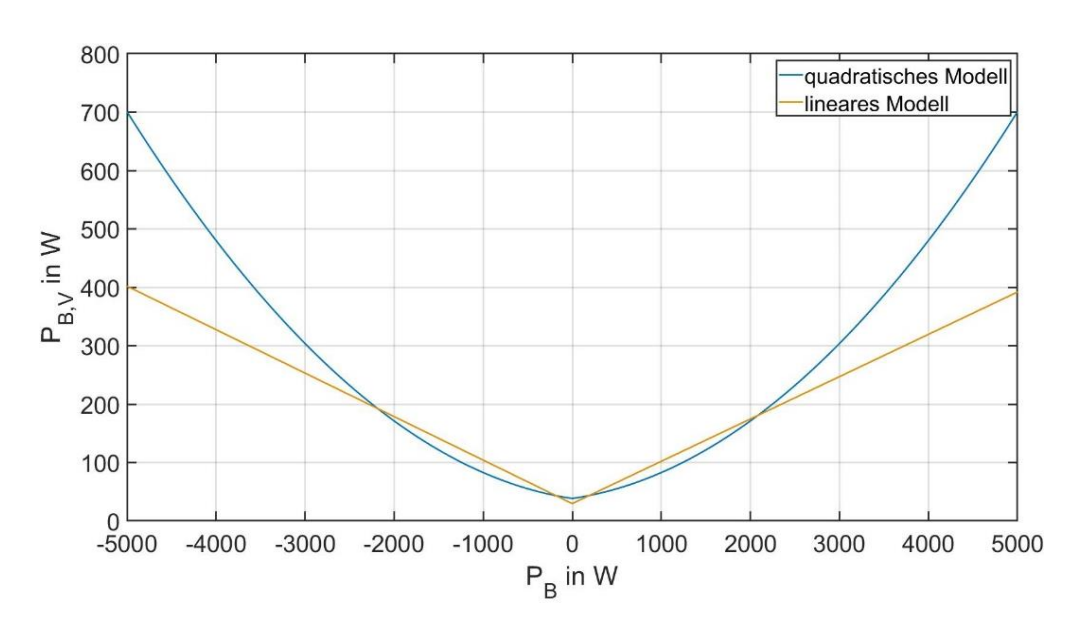




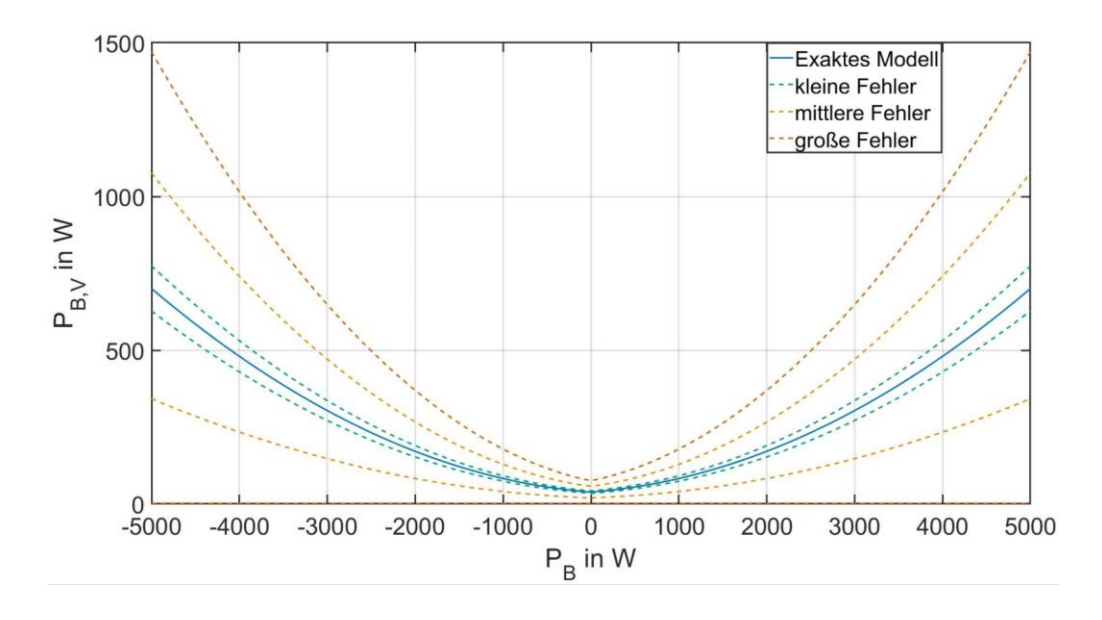


#### Forschungsfragen und Simulationssetup

#### Modellstruktur



#### Modellparameter



- → Beeinflusst die Struktur des Optimierungsmodells die Performance der Betriebsführung?
- → Wenn dem so ist, wie sehr und warum?

- → Beeinflussen die Parameter des Optimierungsmodells die Performance der Betriebsführung?
- → Wenn dem so ist, wie sehr und warum?





Ergebnisse: Modellstruktur

Bewertungskriterium	Definition	MILP	MIQCP
Betriebskosten, $k_{ m BK}$	$k_{\text{BK}} = \int_t c_{\text{N,B}} P_{\text{N,B}}(t) - c_{\text{N,E}} P_{\text{N,E}}(t) dt$	475.12 €	472.33 €
Selbstversorgungsgrad, $k_{ m SV}$	$k_{\text{SV}} = \frac{\int_{t} P_{\text{L}}(t) + P_{\text{WP}}(t) - P_{\text{N,B}}(t) dt}{\int_{t} P_{\text{L}}(t) + P_{\text{WP}}(t) dt}$	53.86 %	53.99 %
Eigenverbrauchsgrad, $k_{ m EV}$	$k_{\text{EV}} = \frac{\int_{t} P_{\text{PV}}(t) - P_{\text{PV,A}}(t) - P_{\text{N,E}}(t) dt}{\int_{t} P_{\text{PV}}(t) - P_{\text{PV,A}}(t) dt}$	61.83 %	61.69 %
PV-Abregelung, $k_{\mathrm{PV,A}}$	$k_{\text{PV,A}} = \frac{\int_t P_{\text{PV,A}}(t) dt}{\int_t P_{\text{PV}}(t) - P_{\text{PV,A}}(t) dt}$	$1.23 \cdot 10^{-4}$	$1.20 \cdot 10^{-4}$
Anteil des TWW, das bei unter 50 °C gezapft wurde, $k_{\mathrm{TWW}}$	$k_{\text{TWW}} = \frac{\int_{t} \dot{Q}_{\text{TWW}}(t) _{T_{\text{TWW}}(t) < 50  ^{\circ}\text{C}}  dt}{\int_{t} \dot{Q}_{\text{TWW}}(t)  dt}$	14.57 %	6.71 %

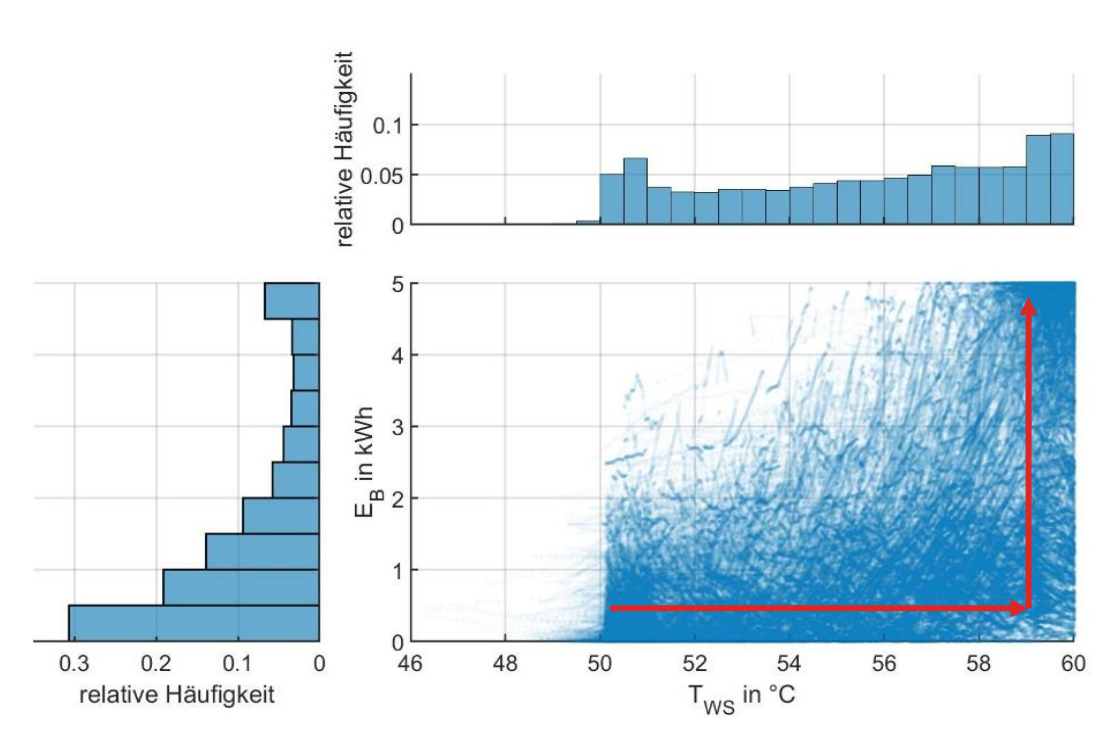




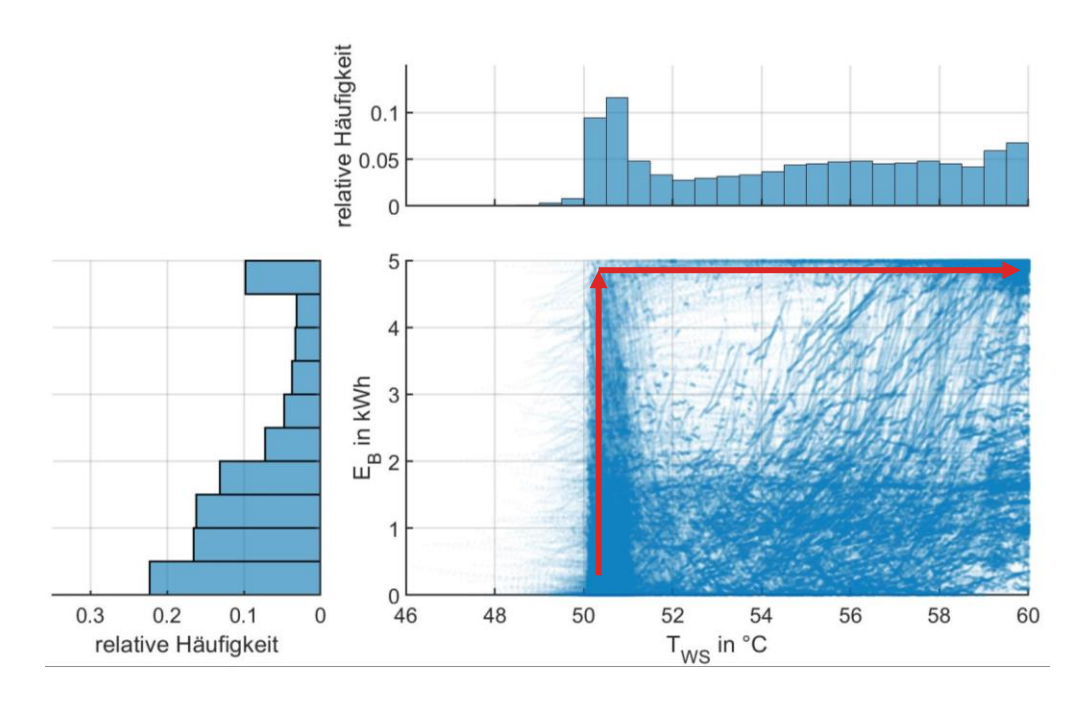
Ergebnisse: Modellstruktur

#### Verteilungen der Systemzustände

#### **Quadratisches Optimierungsmodell**



#### **Lineares Optimierungsmodell**



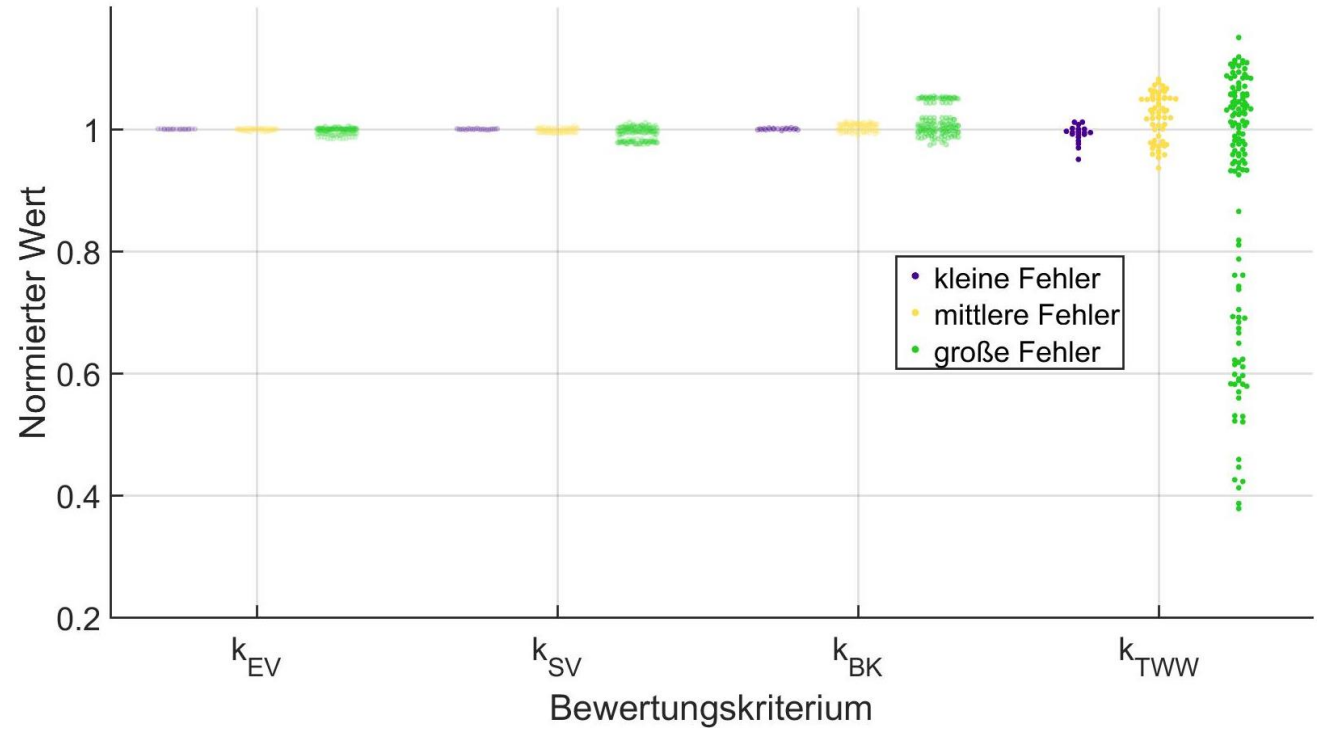
→ inadäquate Modellstruktur kann die Priorität des Ladens von einem Speicher zum anderen verschieben





## Ergebnisse: Modellparameter

#### Relative Änderung der Bewertungskriterien infolge von Parametervariation am Optimierungsmodell



- → realistische (geringe) Fehler haben vernachlässigbaren Einfluss
- → große Parameterfehler können ebenfalls Verschiebung der Ladepriorität hervorrufen



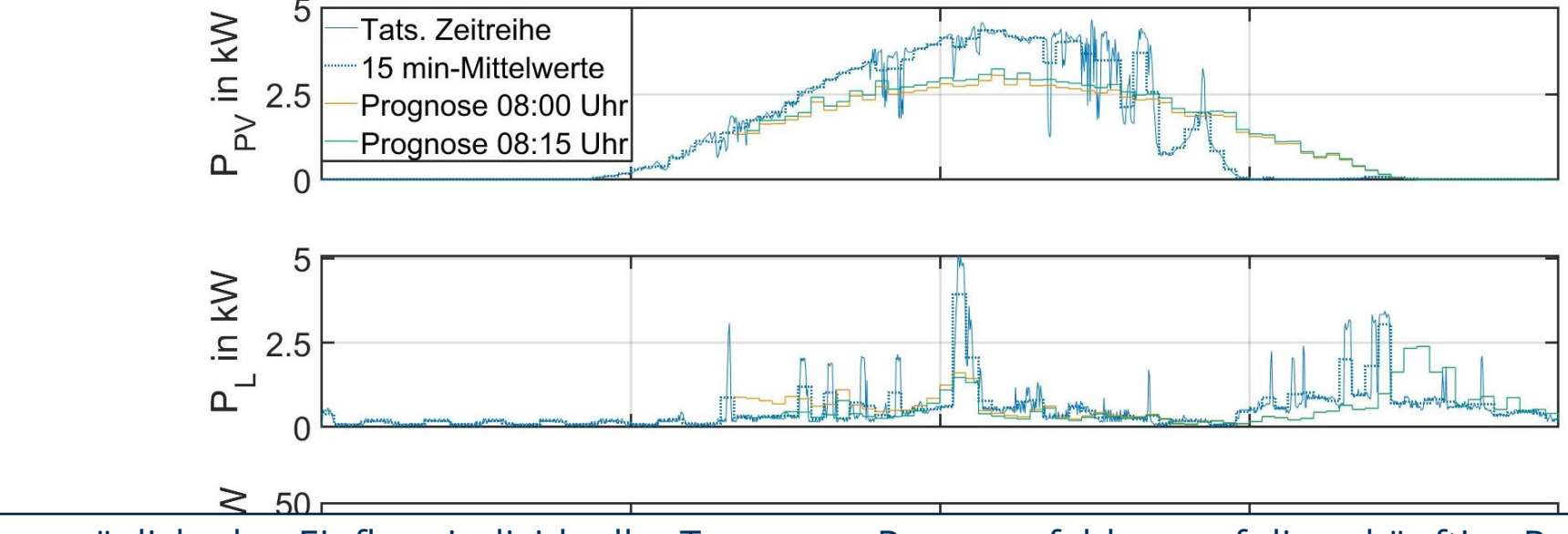






## Forschungsfrage

#### Gemessene und prognostizierte Zeitreihen der PV-, elektrischen Last- und Trinkwarmwasser-Leistung



- → Ist es möglich, den Einfluss individueller Typen von Prognosefehlern auf die zukünftige Performance der Betriebsführung zu quantifizieren?
- → Welche Fehler haben den größten Einfluss?
- → Wie sicher können wir uns dessen sein?

Zeit in h





## Vergleich zum Einfluss der Modellstruktur

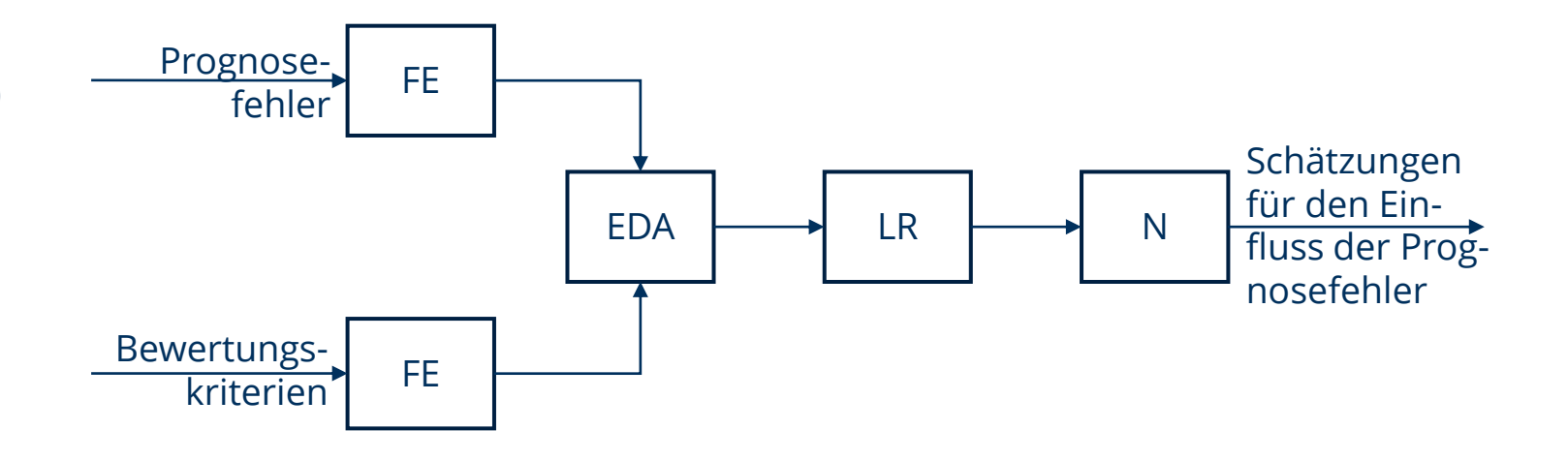
Bewertungskriterium	MILP, ideale Prognosen	MIQCP, ideale Prognosen	MILP, reale Prognosen
Betriebskosten, $k_{ m BK}$	475.12 €	472.33 €	547.82 €
Selbstversorgungsgrad, $k_{ m SV}$	53.86 %	53.99 %	47.63 %
Eigenverbrauchsgrad, $k_{ m EV}$	61.83 %	61.69 %	58.24 %
PV-Abregelung, $k_{\mathrm{PV,A}}$	$1.23 \cdot 10^{-4}$	$1.20 \cdot 10^{-4}$	$14,39 \cdot 10^{-4}$
Anteil des TWW, das bei unter 50 °C gezapft wurde, $k_{\mathrm{TWW}}$	14.57 %	6.71 %	32.83 %





# 3. Prognoseunsicherheiten Vorgehen

- Reduktion der Dimensionalität
- → Feature Engineering (FE)
- Identifikation möglicher Zusammenhänge
- → Explorative Datenanalyse (EDA)
- Quantifizieren der Zusammenhänge
- → Lineare Regression (LR)
- → Normierung (N)
- Durchführung für 20 verschiedene Haushalte







#### Feature Engineering

#### Bewertungskriterien

- Berechnung für jeden Zeitschritt, in dem eine Prognose und Optimierung durchgeführt wurde
- 2. Berechnung der Differenz zwischen realer und idealer Simulation
- 3. Berechnung der Änderung über 2 h
- Vorzeichendefinition bei 2. und 3. so, dass negative Werte eine Verschlechterung sind

#### **Prognosefehler**

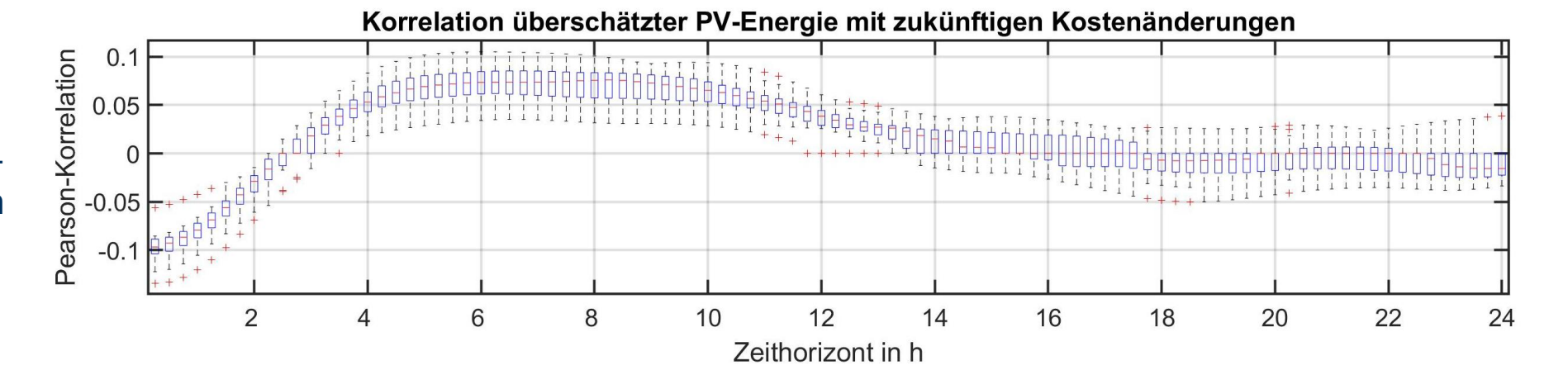
- 1. Definition von "Features"
- Leistung im nächsten Zeitschritt
- Energieinhalt
- Leistung der geschätzten Maxima
- Leistung am tatsächlichen Maximum
- Zeitpunkt des Auftretens des Maximums
- 2. Aufteilung in Überschätzung und Unterschätzung



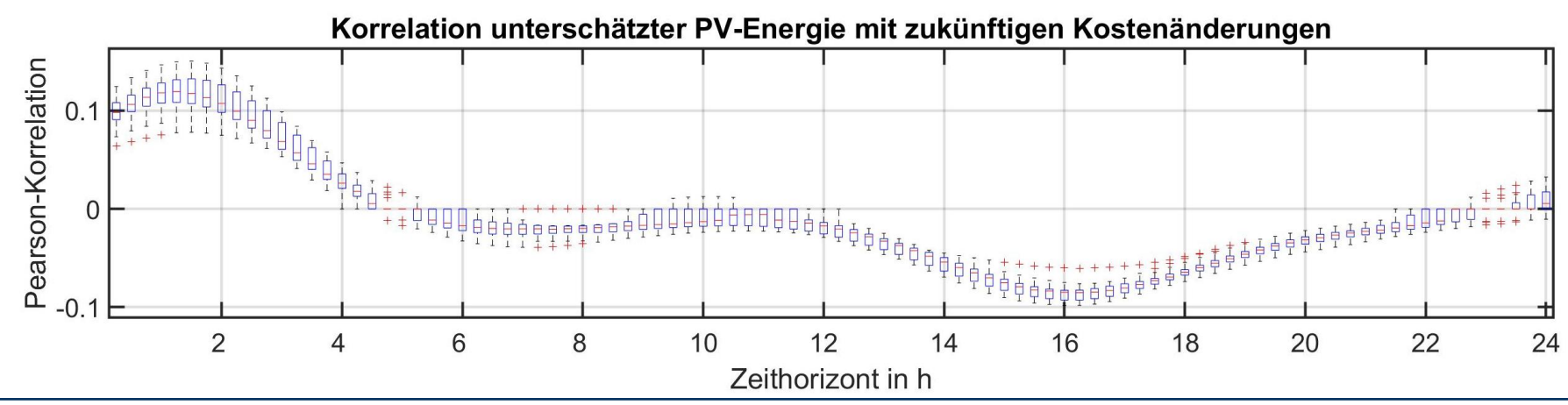


## Korrelation zwischen Prognosefehlern und Kostenerhöhungen

 Berechnung Korrelation zwischen vorangegangenen Prognosefehlern und späteren Erhöhungen der Kostendifferenz für alle 20 Haushalte



 Problem: Autokorrelation der Prognosefehler



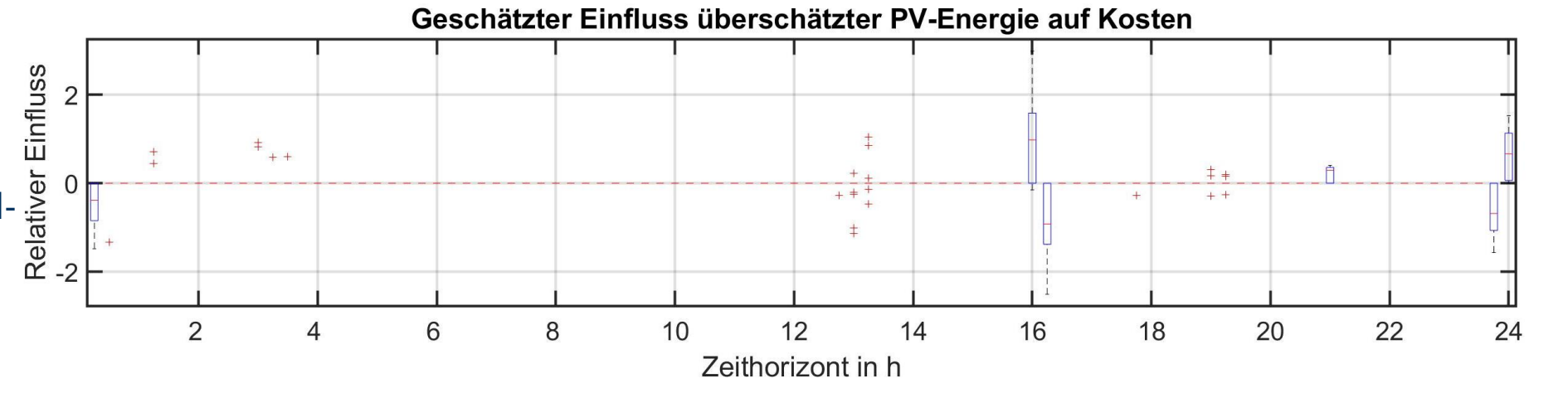




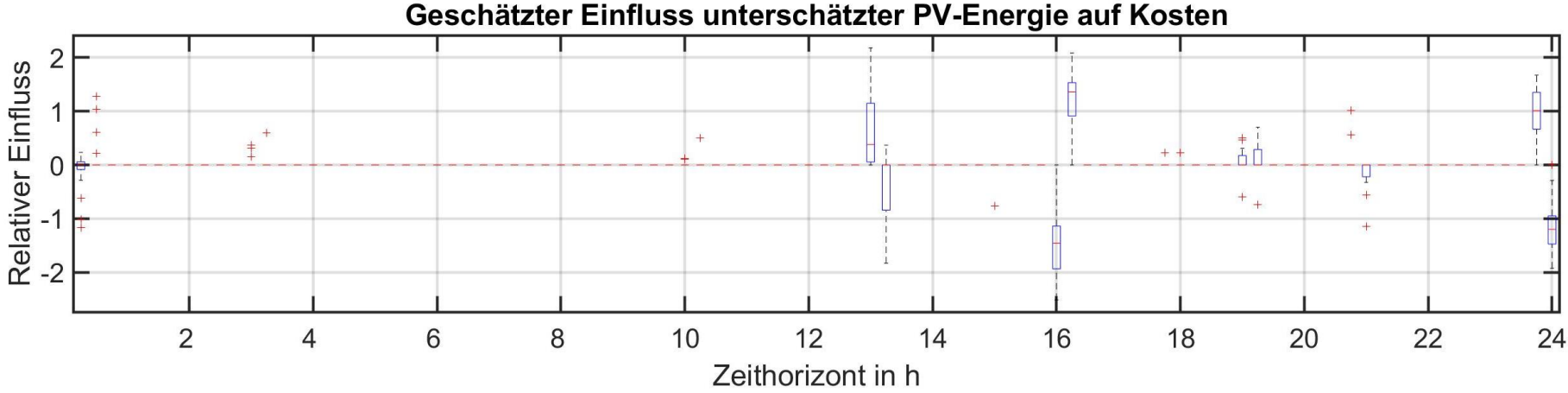
## Schätzung der Einflüsse von Prognosefehlern auf Kosten

lineare Regression

 Problem: unterschiedliche Einheiten und Größenordnungen



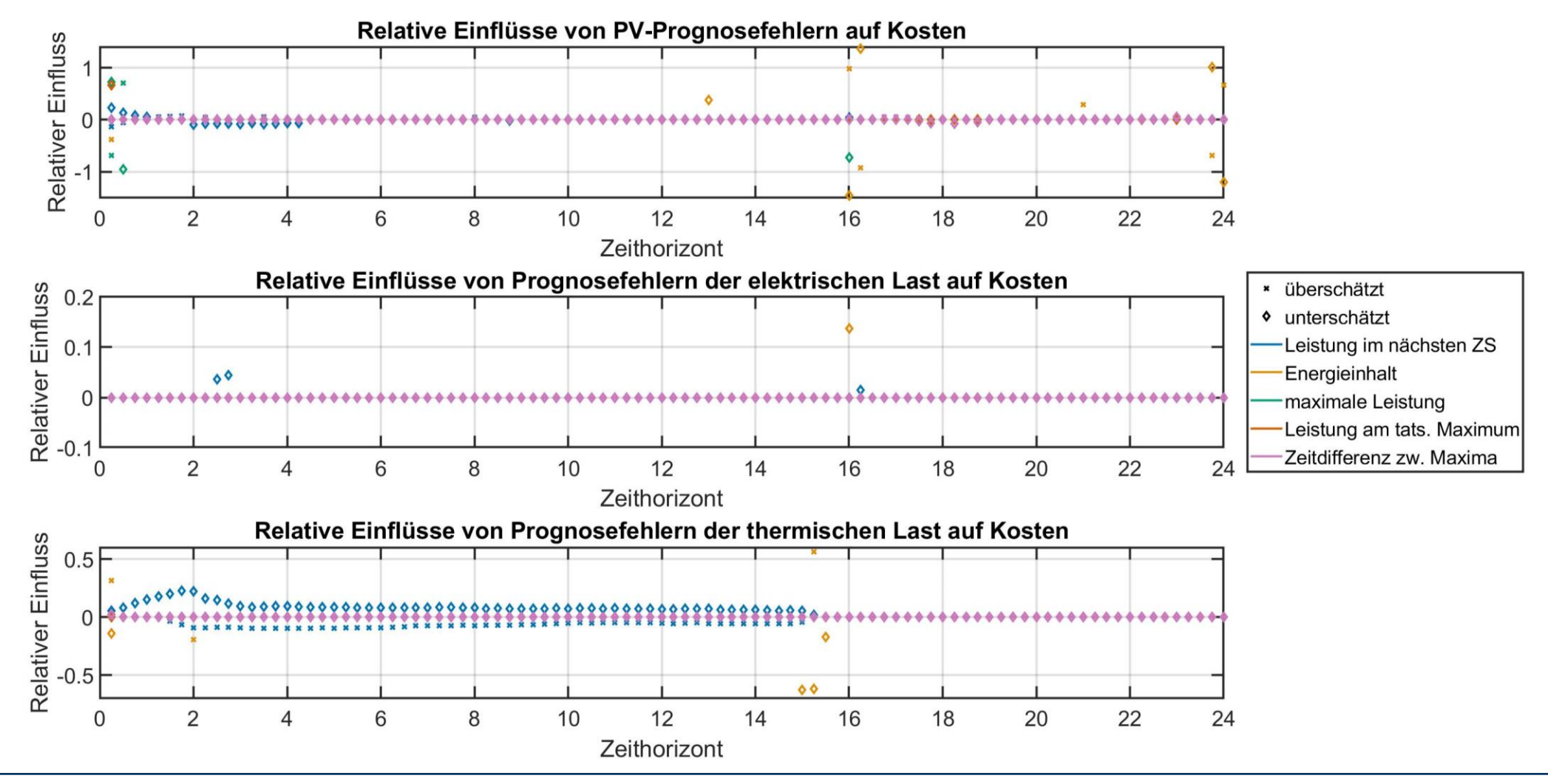
- Lösung: Normierung mittels
- Teilen durch mittleren Kostenanstieg
- Multiplikation mit mittlerem Prognosefehlerfeature







## Zusammengefasste Einflüsse von Prognosefehlern auf Kosten







## 4. Zusammenfassung und Ausblick





## 4. Zusammenfassung und Ausblick

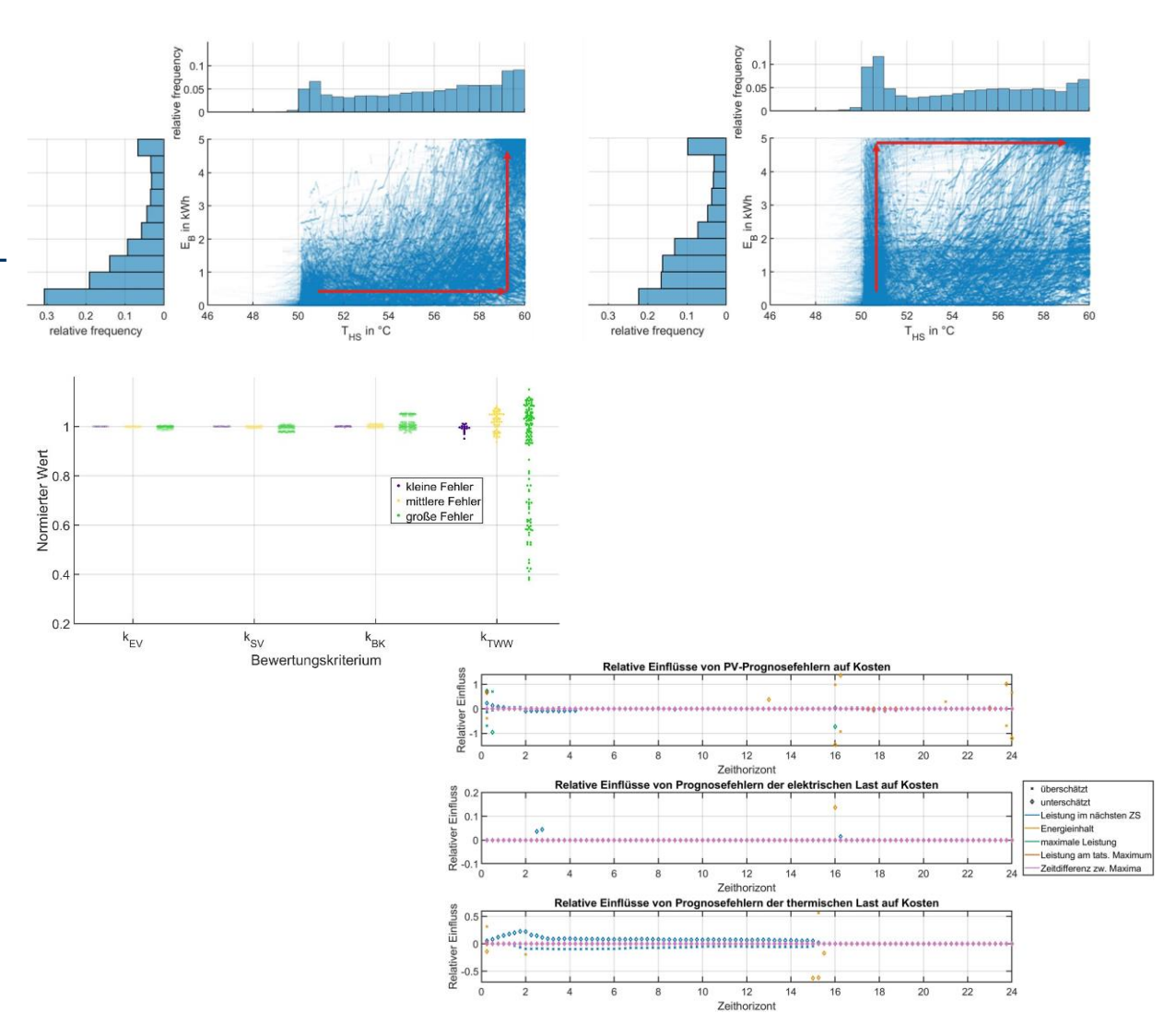
### Zusammenfassung

#### Modellunsicherheiten

- Große Modellfehler können das optimierende Betriebsführungsverfahren dazu bringen, die Ladepriorität zwischen den Speichern zu verschieben.
- Kleine Modellfehler hatten keinen nennenswerten Einfluss auf die Performance des Systems.

#### Prognoseunsicherheiten

- Verkettung von Feature engineering, EDA und Regression, um Prognosefehler mit größtem Einfluss auf Performance des Systems zu identifizieren
- Modellqualität verbesserungswürdig, daher Robustheit der Ergebnisse fragwürdig



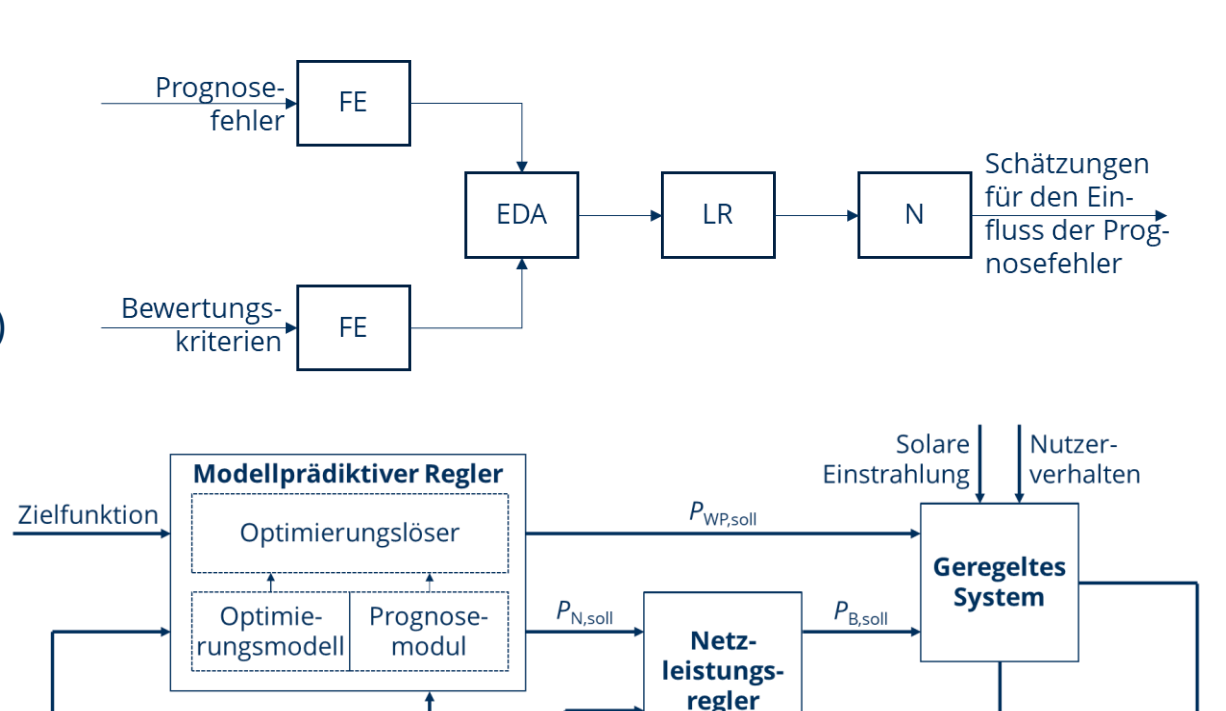




# **4. Zusammenfassung und Ausblick** Ausblick

#### Weitere Forschung zum Einfluss von Prognoseunsicherheiten

- Anwendung der Methodik auf restliche Bewertungskriterien
- Vergleich mit abgewandelten Methodiken (Variablentransformationen, logistische Regression)
- Analyse einer breiteren Palette von Multi-Use-Kombinationen
- Verbesserungen der Betriebsführung
- Entwicklung eines statistischen Modells für die Prognoseunsicherheiten
- Nutzung der Informationen über die Unsicherheiten in der Optimierung







Zustände von Batterie und Wärmespeicher

 $P_{PV}$ ,  $P_L$ ,  $\dot{Q}_{DHW}$ 





## **Vielen Dank!**



Dipl.-Ing. Ronny Gelleschus
(Hauptautor)
ronny.gelleschus@tu-dresden.de
+49 351 463 40332



Prof. Dr.-Ing. Thilo Bocklisch thilo.bocklisch@tu-dresden.de +49 351 463 40270

